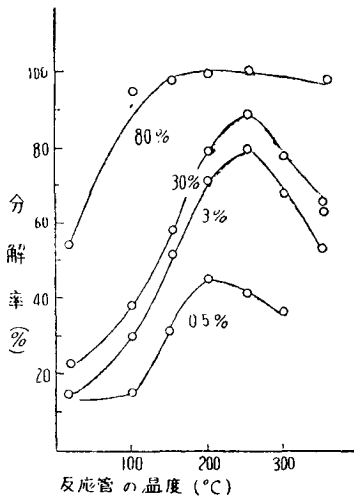
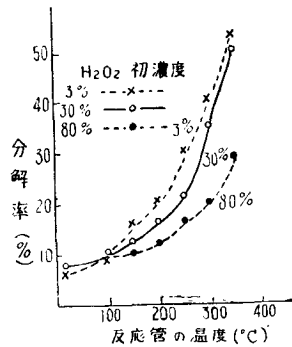


(a) 安定剤を含む過酸化水素を用いた場合 反応管の温度と分解率との関係を圖示すれば第一圖の如くである。200~250°C にて分解率の極大が現はれた。初濃度の異なる程即ち共存する水蒸氣量の異なる程分解率が大きである。

第 1 圖



第 2 圖



(b) 精製過酸化水素を用いた場合 第二圖の如く、反應温度高き程分解率大となる。又 H_2O_2 初濃度高き程分解率小となり、即ち水の蒸氣は分解促進に働くらしい。 H_2O_2 濃度 3, 30, 80% による分解率の比は略 2 : 1.5 : 1 である。

尙、(a) の結果は氣化室内に溜る H_2SO_4 による蒸發困難のため液相分解による誤差が入つてゐる。氣相分解としては (b) の結果が正確である。即ち H_2SO_4 が氣化に際して非常に悪い結果をもたらす。又 H_2O_2 蒸氣を導管中に流す場合その分解が H_2O_2 濃度大なる程かへつて少い事及び 150°C 迄は室温に比べて大差ない事は實際上の減壓問題に關係し注目すべきである。

反應管内温度分布問題に関する研究

福 井 謙 一
川 崎 明 裕

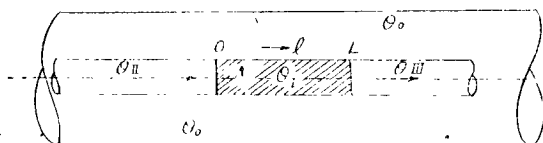
發熱反應を行はしめてゐる反應管の外部より恒温の油、其他の流體によつて反應管内に發生

した反應熱を取去る場合、反應管の内部の溫度分布はどうなるか、又溫度分布と流速との關係はどうなるか等は理論的にも實驗室的にも又工業的にも重要な問題であるに拘らずこの問題の正確なる論議は未だなされてゐないやうであるので茲に取扱つたわけである。

I. 反應層が有限にある場合

細かい粒狀觸媒をなる長さに一樣に充填した反應管(徑 R)を考へ管外の冷却流體の溫度を θ_0 、觸媒層の溫度を θ_I 、觸媒層より前部の管内溫度を θ_{II} 、觸媒層より後部の溫度を θ_{III} 、夫々の部分に於ける反應流體の熱傳導率を K_I, K_{II}, K_{III} 、比熱を $C_{PI}, C_{PII}, C_{PIII}$ 、密度を $\rho_I, \rho_{II}, \rho_{III}$ 、空管としての流速を V_I, V_{II}, V_{III} 、外部の冷却流體への熱貫流係数を U_I, U_{II}, U_{III} 、反應熱を q 、反應速度を φ とし、第 1 圖の如く管長方向に流動方向を正とする l 軸をとり管徑方向に r 軸をとると次の微分方程式が成立する。

第 1 圖



$$K_I \left(\frac{\partial^2 \theta_I}{\partial r^2} + \frac{1}{r} \frac{\partial \theta_I}{\partial r} + \frac{\partial^2 \theta_I}{\partial l^2} \right) - C_{PI} \rho_{VI} \frac{\partial \theta_I}{\partial l} + q \varphi = 0 \quad 0 < l < L \quad (1)$$

$$K_{II} \left(\frac{\partial^2 \theta_{II}}{\partial r^2} + \frac{1}{r} \frac{\partial \theta_{II}}{\partial r} + \frac{\partial^2 \theta_{II}}{\partial l^2} \right) - C_{PII} \rho_{VII} \frac{\partial \theta_{II}}{\partial l} = 0 \quad l < 0 \quad (2)$$

$$K_{III} \left(\frac{\partial^2 \theta_{III}}{\partial r^2} + \frac{1}{r} \frac{\partial \theta_{III}}{\partial r} + \frac{\partial^2 \theta_{III}}{\partial l^2} \right) - C_{PIII} \rho_{VIII} \frac{\partial \theta_{III}}{\partial l} = 0 \quad l > L \quad (3)$$

境界條件は

$$r=R \text{ にて} \quad -K_I \frac{\partial \theta_I}{\partial r} = U_I (\theta_I - \theta_0) \quad 0 < l < L \quad (4)$$

$$-K_{II} \frac{\partial \theta_{II}}{\partial r} = U_{II} (\theta_{II} - \theta_0) \quad l < 0 \quad (5)$$

$$-K_{III} \frac{\partial \theta_{III}}{\partial r} = U_{III} (\theta_{III} - \theta_0) \quad l > L \quad (6)$$

$$l=0 \text{ にて} \quad \theta_I = \theta_{III} \quad (7)$$

$$-K_I \frac{\partial \theta_I}{\partial l} = -K_{II} \frac{\partial \theta_{II}}{\partial l} \quad (8)$$

$$l=L \text{ にて} \quad \theta_I = \theta_{II} \quad (9)$$

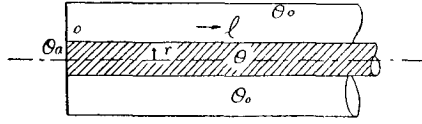
$$-K_I \frac{\partial \theta_I}{\partial l} = -K_{III} \frac{\partial \theta_{III}}{\partial l} \quad (10)$$

である。我々は(1)~(10)を解いてその完全解を與へたが、得られた溫度分布式が極めて複雑で色々の論議に不便であるので次に半無限の反應層の場合を考へた、

II. 反應層が半無限である場合。

第2圖の如き半無限の反応層を考へ、入口の温度は常に一定温度 θ_a に保たれてゐるものとすると次の微分方程式が成立する。

第 2 圖



$$K \left(\frac{\partial^2 \theta}{\partial r^2} + \frac{1}{r} \frac{\partial \theta}{\partial r} + \frac{\partial^2 \theta}{\partial l^2} \right) - C_p \rho v \frac{\partial \theta}{\partial l} + q \varphi = 0 \quad (11)$$

$$\text{境界条件は } r=R \text{ にて } -K \frac{\partial \theta}{\partial r} = U (\theta - \theta_0) \quad (12)$$

$$l=0 \text{ にて } \theta = \theta_a \quad (13)$$

である、茲で反応は假に一次反応であるとし、

$$\varphi = [A]_0 k e^{-\frac{k}{v} l} \quad (14)$$

とおく、(11)~(13) を解けば

$$\theta = \theta_0 + \frac{\alpha}{\beta(\beta+r)} \left\{ \frac{h J_0(\sqrt{\beta(\beta+r)} y)}{\sqrt{\beta(\beta+r)} J_0'(\sqrt{\beta(\beta+r)}) + h J_0(\sqrt{\beta(\beta+r)})} - 1 \right\} e^{-\beta x} - \sum_{i=1}^{\infty} \frac{2 b_i^2}{(b_i^2 + h^2) \{J_0(b_i)\}^2} \left\{ \frac{\alpha}{\beta(\beta+r)} \frac{h J_0(b_i)}{b_i^2 - \beta(\beta+r)} + \frac{1}{b_i} \left(\theta_a - \theta_0 + \frac{\alpha}{\beta(\beta+r)} \right) J_0'(b_i) \right\} J_0(b_i) e^{\alpha i x} \quad (15)$$

$$\text{茲に } \alpha = \frac{q[A]_0 k R^2}{k}, \quad \beta = \frac{kR}{v}, \quad r = \frac{C_p \rho v R}{K}, \quad h = \frac{UR}{K}, \quad \frac{r}{R} = y, \quad \frac{l}{R} = x$$

$$b_i \text{ は } b J_0'(b) + h J_0(b) = 0 \text{ の第 } i \text{ 番目の根,}$$

$$a_i \text{ は } a^2 - r a - b_i^2 = 0 \text{ の負根,}$$

J_0 は零次の Bessel 函数である。

反応管の中心温度 (θ_z とする) は (15) より直ちに得られ、

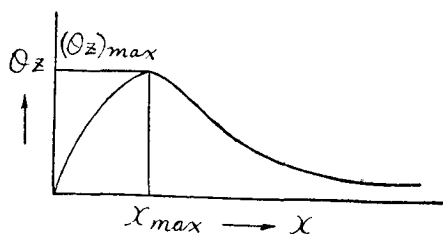
$$\theta_z = \theta_0 + \frac{\alpha}{\beta(\beta+r)} \left\{ \frac{h}{\sqrt{\beta(\beta+r)} J_0'(\sqrt{\beta(\beta+r)}) + h J_0(\sqrt{\beta(\beta+r)})} - 1 \right\} e^{-\beta x} - \sum_{i=1}^{\infty} \frac{2 b_i^2}{(b_i^2 + h^2) \{J_0(b_i)\}^2} \left\{ \frac{\alpha}{\beta(\beta+r)} \frac{h J_0(b_i)}{b_i^2 - \beta(\beta+r)} + \frac{1}{b_i} \left(\theta_a - \theta_0 + \frac{\alpha}{\beta(\beta+r)} \right) J_0'(b_i) \right\} e^{\alpha i x} \quad (16)$$

$\theta_0 = \theta_a = 0$ として一般性を損はぬから、

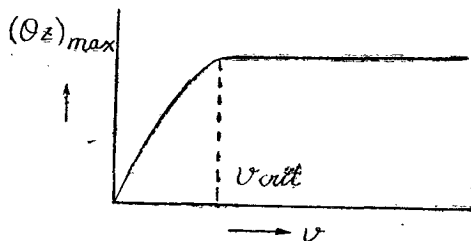
$$\theta_z = \frac{\alpha}{\beta(\beta+r)} \left[\left\{ \frac{h}{\beta(\beta+r) J_0'(\sqrt{\beta(\beta+r)}) + h J_0(\sqrt{\beta(\beta+r)})} - 1 \right\} e^{-\beta x} - \sum_{i=1}^{\infty} \frac{2 h \beta(\beta+r) e^{\alpha i x}}{(b_i^2 + h^2) \{b_i^2 - \beta(\beta+r)\} J_0(b_i)} \right] \quad (16)'$$

$\theta_z(x)$ と x との関係圖の一例を圖示すれば第3圖のやうである。

第 3 圖



第 4 圖



次に (16)' 式の中の諸恒數に實驗値を入れて種々なる v のときの $(\theta_z)_{max}$ の値の變化を求めると第 4 圖のやうに $(\theta_z)_{max}$ は或 v の値までは略直線的に増加するが以後は殆んど一定になる。この曲率の非常に小なる點 v_{crit} は、 $R, q, [A]_0, k, K, C_p, \rho, U$ の函數であるが、之等の諸恒數の値と v_{crit} との間の關係を實驗をせず計算のみで知ることが出來れば、反應管の溫度調節上極めて便利であることは明かである。之に關して或簡單化の爲の工夫の下にその方法を述べた。(細部省略)

珐瑯融着機構の研究 (第 4 報)

燒成中に於ける珐瑯鐵板の酸素吸收に就て

田 代 仁

施釉した軟鋼板を爐の中に入れるとガラス粒子が軟化し鐵表面を蔽つた後も空中の酸素はガラス融液の薄層を通じて鐵表面に達し鐵を酸化する。この酸素の侵入速度が熱成中どの様に變るかを測定する事は軟鋼と釉の融着が完成する迄の経過を知る上に極めて必要であると考へたのでこの研究を行つた。

測定方法：施釉した軟鋼片を石英管に入れ、管の中に 1/5 氣壓の酸素を充填した後、電氣爐中で 900°C に加熱する。軟鋼片によつて吸收されただけの酸素を石英管に連結したマノメーターを見ながら絶へず補充する。補充量と燒成時間の關係より酸素吸收速度を求める。

結果及び考察：(1) ガラス粒子が熔ける前に酸素は自由に粒子の間を通り抜けて鐵表面に酸化鐵層をつくる。ガラスが熔けて鐵表面を蔽つてもこの酸化鐵層がガラスと鐵の間にある間は酸素の吸收は始まらない。酸化鐵層がガラス融液中に溶解消失した後に (正しく云へば少くとも 1μ 以下の厚さになつた後に) 酸素の吸收が始まり可成り長い間吸收速度は 1 定に保たれる。ガラス中の酸化鐵の濃度が飽和點に近くなるとその速度は減する。所謂燒成最適時間と